



پنهانه‌بندی خطر روانگرایی در جزیره قشم و ریزپنهانه‌بندی آن در شهرهای قشم و درگهان

فرج الله عسگری^۱؛ هادی گریوانی^{۱*}؛ ابراهیم حق شناس^۱

پذیرش مقاله: ۱۳۸۹/۱۱/۶

دریافت مقاله: ۱۳۸۹/۳/۵

چکیده

مقاله حاضر نتایج مطالعات انجام گرفته در زمینه بررسی خطر روانگرایی در دو مقیاس کلان برای کل جزیره قشم و ریزپنهانه‌بندی آن در محدوده دو شهر مهم این جزیره، یعنی قشم و درگهان، را ارائه می‌دهد. این مطالعات در چهارچوب مطالعات گستردۀتر پنهانه‌بندی خطر زمینلرزه و پنهانه‌بندی مخاطرات ژئوتکنیک لرزاوی جزیره قشم در پژوهشگاه بین‌المللی زلزله‌شناسی و مهندسی زلزله به سفارش سازمان منطقه آزاد قشم انجام گردیده است. طی این مطالعه، در مرحله نخست، پنهانه‌بندی خطر روانگرایی در کل جزیره قشم در مقیاس درجه ۲ مطابق با طبقه‌بندی راهنمای پنهانه‌بندی خطرات ژئوتکنیک لرزاوی (TC4) با مبنای قرار دادن نقشه زمین‌شناسی مهندسی تهیه شده در بخش‌های دیگر پروژه مد نظر قرار گرفت و سپس در مرحله بعد، ریزپنهانه‌بندی خطر این پدیده در شهرهای قشم و درگهان در مقیاس درجه ۳ مطابق با راهنمای مذکور به انجام رسید. در این بخش از مطالعه استعداد روانگرایی بر مبنای تهیه پروفیل‌های ژئوتکنیکی نماینده و تحلیل آنها برآورد گردیده است. بررسی‌ها نشان داد، شهر قشم با توجه به وجود لایه‌ای سنگی کربناته به صورت پادگانه‌های دریایی در سطح زمین و نوع پروفیل زمین‌شناسی زیر این لایه‌ها چه در وضع موجود تراز آب زیرزمینی و چه در صورت افزایش آن، ازنظر خطر روانگرایی ایمن است. در شهر درگهان اگرچه در تراز آب موجود خطر روانگرایی پایین است اما افزایش تراز آب می‌تواند در بخش‌هایی از این شهر به افزایش شدید خطر روانگرایی منجر گردد.

کلید واژه‌ها: پنهانه‌بندی، ریزپنهانه‌بندی، روانگرایی، قشم، خطر

۱. پژوهشگاه بین‌المللی زلزله‌شناسی و مهندسی زلزله h.grivani@iiees.ac.ir

* مسئول مکاتبات

جزیره قشم و ریزپهنه‌بندی آن در شهرهای قشم و درگهان طی این پژوهه است.

۱- روش تحقیق

در راهنمای پهنه‌بندی مخاطرات ژئوتکنیک لرزه‌ای ثاپن TC4، با توجه به میزان اطلاعات مورد استفاده، مقیاس مطالعه و در نتیجه دقت مطالعه، روش‌های پهنه‌بندی را به سه درجه یک، دو و سه تقسیم نموده که به ترتیب، دقت و مقیاس آنها افزایش می‌یابد. مطالعه حاضر با انجام اصلاحاتی در دستورالعمل فوق، شامل دو بخش اصلی است:

الف) بخش نخست که در آن به پهنه‌بندی جزیره قشم در برابر خطر روانگرایی پرداخته شده و از نظر مقیاس و دقت مطالعه با پهنه‌بندی درجه ۲ از راهنمای TC4 قابل مقایسه است، نقشه زمین‌شناسی مهندسی جزیره قشم (گریوانی و حق شناس، ۱۳۸۶) به عنوان مبنا مورد استناد و استفاده قرار گرفته و احتمال روانگرا شدن برای هر یک از واحدهای زمین‌شناسی مهندسی موجود در این نقشه بر اساس سه معیار دانه‌بندی، تراکم و اشباع بودن تخمین زده شده است.

ب) بخش دوم مطالعه که در آن به ریزپهنه‌بندی شهرهای قشم و درگهان در برابر روانگرایی پرداخته شده و از نظر دقت و روش مطالعه قابل مقایسه با پهنه‌بندی درجه ۳ از راهنمای TC4 است. در این بخش ابتدا منطقه مورد مطالعه شبکه‌بندی شده و براساس اطلاعات ژئوتکنیکی و ژئوفیزیکی در دسترس، پروفیل‌های نمونه ژئوتکنیکی برای این شبکه‌ها تهیه شده و سپس براساس روش توصیه شده توسط انتیتو ملی استانداردها و تکنولوژی آمریکا (۱۹۹۹) برای سرعت موج برنشی و روش سید و ادریس (۱۹۷۱) برای SPT استعداد روانگرایی برای این پروفیل‌ها مورد ارزیابی قرار گرفته است.

در ادامه ابتدا نتایج پهنه‌بندی روانگرایی در جزیره قشم با درجه ۲ و سپس نتایج ریزپهنه‌بندی شهرهای قشم و درگهان با درجه ۳ ارائه خواهد شد.

مقدمه

پدیده روانگرایی یکی از مهم‌ترین رخدادهایی است که در هنگام زمین‌لرزه، خسارات شدیدی را به ساختمان‌ها و شریان‌های حیاتی موجود ببروی آبرفت‌های ماسه‌ای جوان وارد می‌کند. پهنه‌بندی خطر روانگرایی ابزاری برای شناسایی مناطق دارای خطر بیشتر است و لذا امکان برنامه‌ریزی جهت تعیین کاربری اراضی و تبیین ضرورت انجام مطالعات روانگرایی دقیق‌تر در محل سازه‌های واقع در مناطق پر خطر را فراهم می‌سازد. آئین نامه‌های معتبر دنیا روش‌های مختلفی جهت طبقه‌بندی انواع نقشه‌های خطر روانگرایی ارائه داده‌اند که از مهمترین آنها می‌توان به راهنمای کالیفرنیا (California Geology Survey, 2005 and 2008) خطرات ژئوتکنیک لرزه‌ای (The Technical Committee for Earthquake Geotechnical Engineering, TC4, Klohn-Crippen 1999) و راهنمای بریتیش کلمبیا Consultants Ltd, 1994) اشاره نمود. مطالعات موردي متعددی نیز در جهان و ایران در این خصوص انجام شده است که در ایران به ریز پهنه‌بندی خطر روانگرایی در تهران (کمالیان و همکاران، ۱۳۸۰؛ عسکری و گریوانی، ۱۳۸۷؛ میرمحمدحسینی و همکاران، ۱۳۷۸؛ صالح زاده و همکاران، ۱۳۸۲؛ کمک پناه و همکاران، ۱۳۸۱؛ JICA, 2000 و ۱۳۸۰) و پهنه‌بندی خطر روانگرایی در سواحل جنوبی کشور (حق‌شناس و همکاران، ۱۳۸۹) که اخیراً به انجام رسیده است می‌توان اشاره نمود. زلزله ۱۳۸۴/۹/۶ جزیره قشم با بزرگای ۵/۶ با وارد کردن خسارات مالی فراون و برجای گذاشتن ۱۰ کشته (حق‌شناس و مهدویفر، ۱۳۸۴)، آسیب‌پذیری منطقه قشم در مقابل زلزله و پدیده‌های مرتبط و ضرورت انجام مطالعه‌ای جامع در این خصوص را آشکار نمود. از این‌رو در سال ۱۳۸۵ بنا به درخواست سازمان منطقه آزاد قشم، مطالعاتی جامع از سوی پژوهشگاه بین‌المللی زلزله‌شناسی و مهندسی زلزله در زمینه پهنه‌بندی مخاطرات ژئوتکنیک لرزه‌ای جزیره قشم آغاز گردید. مقاله حاضر نتایج مطالعات پهنه‌بندی روانگرایی در

تهیه شده است. در نقشه زمین‌شناسی مهندسی مجموع رخمنوهای سطحی جزیره به دو رده خاکی و سنگی تفکیک شده است. خاکها بر اساس جنس به چهار رده ماسه‌ای، ماسه‌ای-سیلتی، سیلتی-رسی و شنی-ماسه‌ای تقسیم شده و سپس با دخالت دادن سایر عوامل مثل ضخامت آبرفت و حدود تراکم، خاکهای جزیره به ۱۱ واحد و بروونزدگی‌های سنگی به ۶ واحد زمین‌شناسی مهندسی تقسیم شده‌اند (شکل ۱).

۱-۳- واحد بندی جزیره قشم از نظر روانگرایی و وزن دهی به واحدها

با استفاده از اطلاعات مورد بحث به خصوص نقشه زمین‌شناسی مهندسی می‌توان زمین‌های جزیره قشم را از منظر روانگرایی به ۱۱ واحد تقسیم نمود. این واحدها براساس جنس و تراکم خاک و عمق آب زیرزمینی تفکیک شده‌اند. در مطالعه حاضر با در نظر گرفتن این واقعیت که واحدهای ماسه‌ای و سیلتی اشباع با تراکم کم بیشترین احتمال روانگرایی را دارا بوده و با تغییر دانه‌بندی و افزایش تراکم، احتمال روانگرایی کاهش می‌یابد، احتمال روانگرایی برای این واحدها در سه رده احتمال متوسط تا زیاد، احتمال کم و غیرمحتمل تخمین زده شده است. مشخصات این واحدها و احتمال روانگرایی آنها در جدول ۱ ارائه شده است.

واحد R سنگی بوده و لذا امکان روانگرایی در آن وجود ندارد. واحد S1 شنی-ماسه‌ای بوده و با توجه به بافت درشت آن، دانه‌بندی مناسبی برای روانگرا شدن ندارد. البته این احتمال وجود دارد که لنزهای ماسه‌ای در درون چنین نهشته‌هایی شکل گیرد. اما از آنجایی که عمق آب در این بخش زیاد بوده و تراکم خاک در این واحد نیز نسبتاً زیاد برآورده است، استعداد روانگرایی در آن غیرمحتمل تخمین زده می‌شود.

۱-۱- پهنه بندی روانگرایی در جزیره قشم

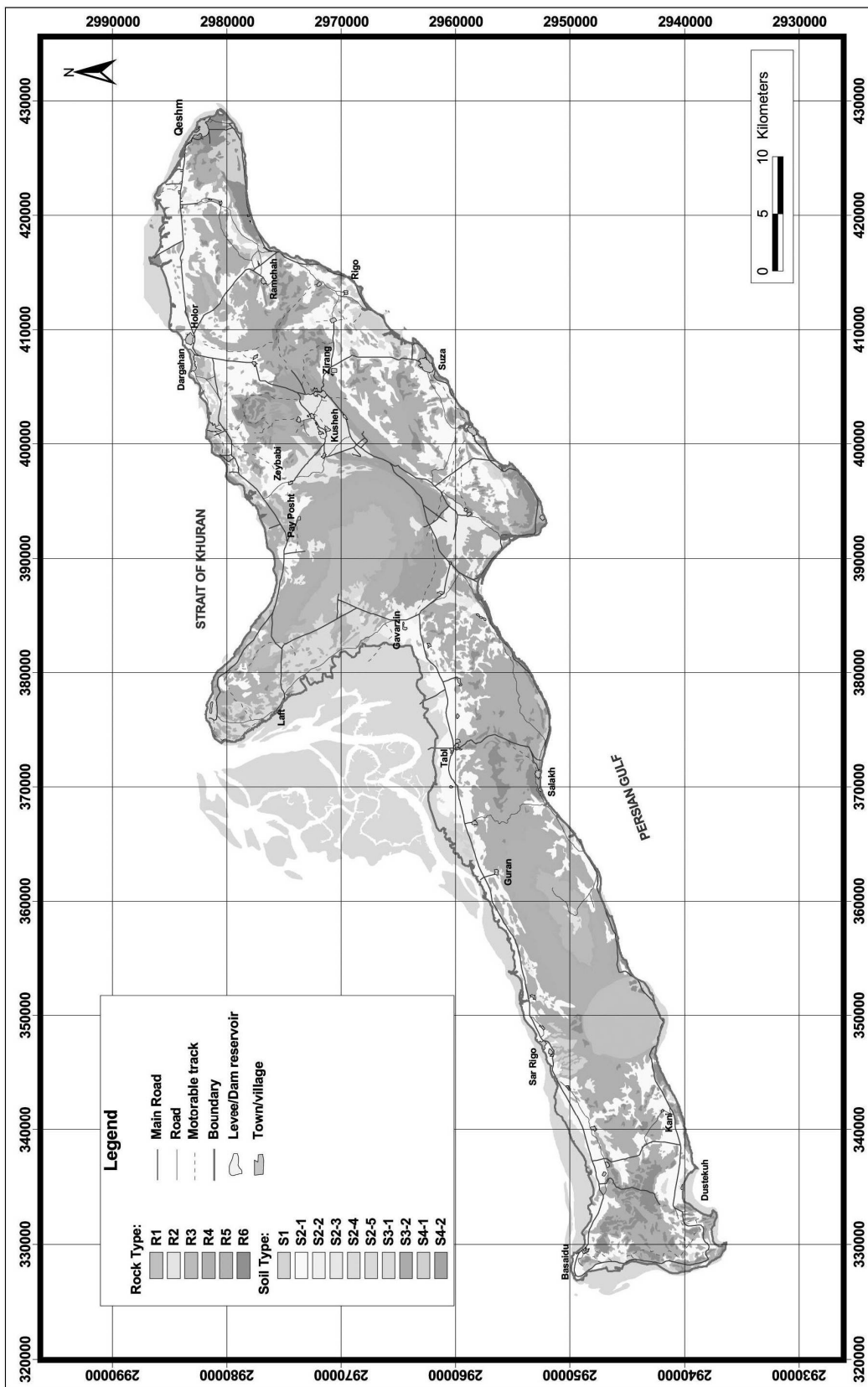
بررسی نقشه زمین‌شناسی جزیره قشم و بازدیدهای صحرایی از گسترش رسوبات ماسه‌ای و سیلتی در سرتاسر جزیره حکایت دارد که به دلیل توپوگرافی پست دشت‌های ساحلی و مجاورت آنها با دریا انتظار می‌رود در اعمق نه چندان زیاد به حالت اشباع درآیند. رخداد زلزله‌هایی با بزرگای ۵ تا ۶ ریشتر در سالیان اخیر و سابقه تاریخی منطقه حاکی از لرزه خیزی بالای منطقه است، لذا شرایط لازم برای وقوع روانگرایی مهیا بوده و در یک نگاه کلی می‌توان جزیره را مستعد روانگرایی دانست.

وجود سابقه رخداد پدیده روانگرایی در یک منطقه طی زلزله‌های گذشته، بیانگر آن است که در زلزله‌های آتی نیز وقوع این پدیده محتمل است. طی زلزله آذر ماه ۱۳۸۴ به بزرگای $ML=5.6$ ، در منطقه دیرستان جزیره قشم چند مورد گسیختگی زمین مشاهده شده است که ممکن است ناشی از روان شدن خاک در لایه‌های زیرین باشد (حق‌شناس و مهدویفر، ۱۳۸۴).

طی این مطالعه سعی شده است براساس اطلاعات موجود جزیره قشم از نظر خطر روانگرایی پهنه‌بندی گردد. به این منظور ابتدا کلیه اطلاعات موجود گردآوری و پردازش شد و با انجام بازدیدهای محلی تکمیل شدند. در نهایت با استفاده از این اطلاعات و نقشه زمین‌شناسی منطقه، نقشه زمین‌شناسی مهندسی جزیره تهیه شده است.

۲-۱- نقشه زمین‌شناسی مهندسی جزیره قشم

نقشه زمین‌شناسی مهندسی که طی این مطالعات تهیه گردید (گریوانی و حق‌شناس، ۱۳۸۶)، آبرفت‌های موجود در گستره جزیره را براساس ضخامت آبرفت، نوع خاک، لایه‌بندی و مقاومت، طبقه‌بندی نموده است که مبنای مناسب جهت ارزیابی استعداد روانگرایی به شمار می‌آید. این نقشه براساس اطلاعات ژئوتکنیکی حاصل از ۴۶ گزارش ژئوتکنیکی، بازدیدهای صحرایی به خصوص از چاهها و ترانشه‌های موجود در جزیره، نقشه‌های زمین‌شناسی و تصاویر ماهواره‌ای



شکل ۱: نقشه زمین‌شناسی مهندسی جزیره قشم (گریوانی و حق شناس، ۱۳۸۶ - حق شناس و همکاران، ۱۳۸۶).

جدول ۱: واحدهای رسوبی مختلف در جزیره قشم و وضعیت روانگرایی در آنها

احتمال روانگرایی	عمق میانگین آب زیرزمینی (متر)	ضخامت تقریبی خاک (متر)	تراکم	جنس	نام واحد	ردیف
غیر محتمل	۲۰<	-	زياد	سنگ	R	۱
غیر محتمل	۱۰<	۱۰>	زياد	شن و ماسه	S1	۲
متوسط تا زياد	۱۰>	۱۰>	کم	ماسه و سیلت	S2-1	۳
متوسط تا زياد	۱۰>	۳۰<	متوسط	ماسه و سیلت	S2-2	۴
کم	۲۰<	۲۰<	زياد	ماسه و سیلت	S2-3	۵
کم	۱۰>	۱۰>	زياد	ماسه و سیلت مارنی	S2-4	۶
متوسط تا زياد	صفر	۱۰>	کم	ماسه و سیلت مستغرق	S2-5	S2 ۷
متوسط تا زياد		۱۰>	کم	رس و سیلت با ضخامت کمتر از ۵ متر بر روی ماسه و سیلت	S3-1	S3 ۸
متوسط تا زياد		۳۰<	کم	رس و سیلت با ضخامت کمتر از ۵ متر بر روی ماسه و سیلت	S3-2	S3 ۹
کم	۱۰<	۱۰>	متوسط	ماسه	S4-1	S4 ۱۰
متوسط تا زياد	۱۰<	۳۰<	متوسط	ماسه	S4-2	S4 ۱۱

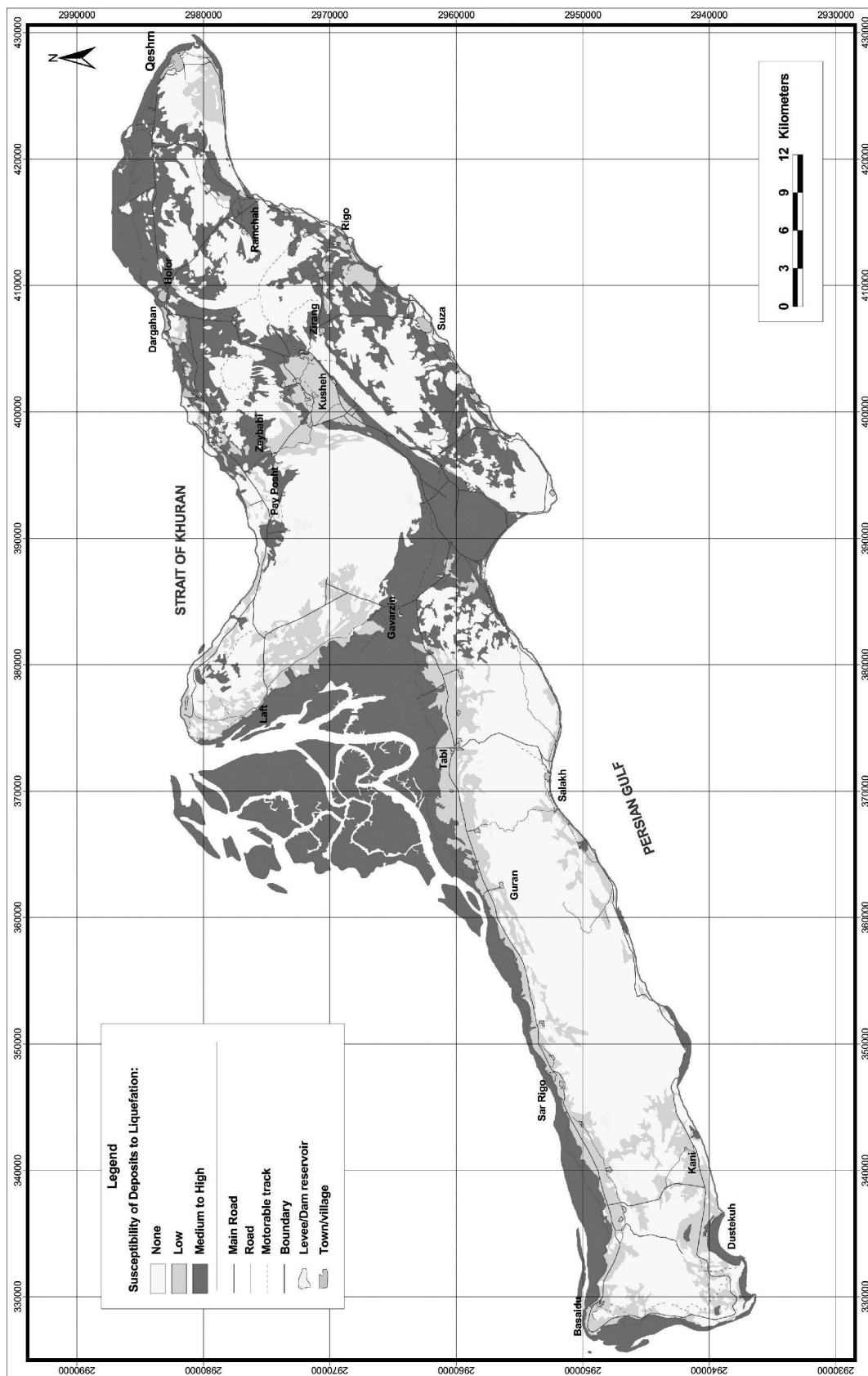
بوده و لذا احتمال روانگرا شدن آن کم تخمین زده شده است.

واحدهای S2-1، S2-2، S2-3، S2-4 و S4-2 به علت جنس ماسه‌ای و سیلتی، تراکم کم تا متوسط و اشباع بودن، شرایط قوع رخداد روانگرایی را دارا بوده و استعداد روانگرا شدن در آنها متوسط تا زیاد تخمین زده است. واحدهای S3 در سطح زمین از نوع سیلتی - رسی هستند، اما لایه زیرین آنها ماسه‌ای - سیلتی بوده و با توجه به احراز سایر شرایط، احتمال روانگرایی در آنها متوسط تا زیاد ارزیابی شده است. شکل ۲ نقشه استعداد روانگرایی در جزیره قشم را نشان می‌دهد.

واحد S2-3 ماسه‌ای - سیلتی بوده و در حال حاضر عمق آب در این بخش پایین بوده و تراکم خاک نیز بالاست، اما مطالعات نشان داده است که در این واحد (دشت توریان) آب زیرزمینی به صورت سفره محلی بوده و می‌تواند در دوره‌های ترسالی و خشکسالی نوسان قابل توجهی داشته باشد. در مجموع احتمال روانگرایی در این واحد کم برآورد شده است.

در واحد S2-4 تراز آب، نزدیک به سطح زمین است، اما وجود مارن به همراه ماسه و سیلت در ترکیب خاک و تراکم بالای لایه‌های خاک، احتمال روانگرایی را کاهش می‌دهد.

واحد S4-1 تپه‌های ماسه بادی را شامل می‌شود که تراکم متوسطی دارند. تراز آب در این واحد به طور معمول پائین



شکل ۲: نقشه استعداد روانگرایی در گستره جزیره قشم

۲۰ متر قرار دارد و لذا از این نظر مستعد به نظر می‌رسند. با توجه به احتمال تغییرات سطح آب زیرزمینی، آنالیز روانگرایی در دو سطح، یکی سطح تراز گزارش شده در مطالعات زئوفیزیکی و ژئوتکنیکی و دیگری در تراز بالاتر، انجام شده است. در حالت دوم در درگهان به جز در منطقه تپه‌های ماسه بادی و بخش‌های ساحلی قسم تراز آب در سطح زمین فرض شده و در سایر مناطق با قضاوت مهندسی برحسب وضعیت توپوگرافی و شرایط زمین‌شناسی تراز بالای آب تعیین شده که مقدار آن برای هر پروفیل متفاوت بوده و در پیوست مشخص شده است.

۵- تهیه پروفیل‌های نماینده خاک: براساس برداشت‌های زئوفیزیکی، مطالعات زمین‌شناسی و اطلاعات ژئوتکنیکی در این مرحله تعداد ۲۲ پروفیل تعریف شده که مشخصات آنها در پیوست مقاله ارائه گردیده است.

۶- سه شرط اولیه برای وقوع روانگرایی لازم است: اشباع بودن، سست بودن و سیلتی یا ماسه‌ای بودن خاک. بدین جهت در مقاطعی از پروفیل‌ها که در آنها لایه‌های زمین غیر از سیلتی و ماسه‌ای بوده یا اشباع نبوده (بالاتر از سطح آب) و یا عدد SPT اصلاح شده بزرگ‌تر از ۳۰ و معادل آن سرعت موج برشی اصلاح شده بزرگ‌تر از 215 m/sec بوده است، ضرورتی بر آنالیز روانگرایی وجود نداشته و لذا از ادامه مطالعه آنها صرف نظر شده است. لازم به ذکر است سرعت 215 m/sec حداقل سرعت موج برشی اصلاح شده برای وقوع روانگرایی است که توسط انتیتو ملی استانداردها و تکنولوژی آمریکا ارائه شده است (Ronald et al., 1999).

۷- مناطق سنگی و مناطقی با تراز آب پائین‌تر از ۲۰ متر بدون خطر روانگرایی و سایر پروفیل‌ها که عدد SPT و سرعت موج برشی بالا دارند با خطر روانگرایی کم مشخص شده‌اند. پروفیل‌های ۱ و ۷ در قشم و پروفیل‌های ۸ و ۹ در درگهان، مستعد روانگرایی تشخیص داده شده که در ادامه جهت تخمین استعداد روانگرایی مورد آنالیز قرار گرفته‌اند. تحلیل پروفیل‌های تهیه شده و ارزیابی استعداد روانگرایی آنها با توجه به نتایج آزمایش‌های SPT و نیز مقادیر اندازه‌گیری

۳- ریزپنهانه بندی روانگرایی در شهرهای قشم و درگهان جهت ریزپنهانه بندی خطر روانگرایی در شهرهای قشم و درگهان از منابع اطلاعاتی زیر جهت شناسایی شرایط زیر سطحی بهره گرفته شده است:

- اطلاعات زمین‌شناختی موجود
- اطلاعات ژئوتکنیکی (شامل گزارش‌های ژئوتکنیکی موجود از ۱۹ ساختگاه)
- اندازه‌گیری‌های زئوفیزیک انکساری در ۲۷ ایستگاه
- اندازه‌گیری‌های ژئوالکتریکی در ۲۵ ایستگاه
- بازدیدهای صحرایی از نقاط متعدد در گستره این دو شهر
- حفاری یک حلقه گمانه در قشم و یک حلقه در درگهان در مطالعه حاضر

۱-۳- تهیه پروفیل‌های نمونه روانگرایی و ارزیابی اولیه آنها

با بهره‌گیری از اطلاعات فوق‌الذکر پروفیل‌های نمونه برای بخش‌های مختلف این دو شهر طی مراحل زیر تهیه شده و ارزیابی اولیه روانگرایی برای آنها صورت گرفته است:

۱- پیاده کردن موقعیت گمانه‌ها و پروفیل‌های ژئوسایزیمیک و ژئوالکتریک بر روی نقشه (شکل ۳)

۲- شبکه بندی محدوده‌های مورد مطالعه: محدوده‌های مورد مطالعه به منظور سهولت در مطالعه به شبکه‌هایی با ابعاد 500×500 متر تقسیم شده‌اند.

۳- تفکیک مناطق سنگی: مناطق سنگی فاقد هر گونه استعداد روانگرایی محسوب می‌شوند لذا براساس نقشه زمین شناسی مهندسی، مناطق سنگی جدا شده‌اند.

۴- عمق سطح ایستابی در ایجاد خطر روانگرایی از اهمیت ویژه‌ای برخوردار است. در اعمق زیاد تنش‌های مؤثر قائم خاک فراتر از حدی شوند که امکان روانگرا شدن وجود داشته باشد. در این مطالعه عمق ۲۰ متر به عنوان عمق نهائی (TC4) بررسی‌های استعداد روانگرایی در نظر گرفته می‌شود، (TC4, 1982) بر پایه مطالعات آب زیرزمینی در تمام مناطق مورد بررسی، آب در ترازی بالاتر از

به منظور ارزیابی استعداد روانگرایی با استفاده از سرعت موج برشی، مقاومت برشی تناوبی (CSR) توده خاک با استفاده از رابطه اندروس و همکاران که توسط انتیتو ملی استانداردها National Institute of Standard and Technology, NIST (and Technology, NIST, 1999) در سال ۱۹۹۹ تعمیم یافته (Andrus et al., 1999)، تعیین شده است. اما در ارزیابی روانگرایی با استفاده از عدد نفوذ استاندارد، با توجه به اینکه خاک‌های دانه‌ای موجود در منطقه به طور غالب ماسه‌ای بوده‌اند از طرح ساده شده سید و ادريس (1971) بهره گرفته شده است. در این مطالعه تنش برشی تناوبی ایجاد شده بر اثر وقوع زلزله در یک عمق مورد نظر با استفاده از رابطه سید و ادريس (Seed and Idris, 1971) به دست آمده است.

مقاومت برشی خاک که بر اساس روش‌های فوق الذکر به دست می‌آید، برای زلزله‌ای با بزرگای ۷/۵ ریشتر است. برای زلزله‌هایی با بزرگای متفاوت لازم است مقاومت برشی با اعمال ضربی متناسب با بزرگای محتمل اصلاح گردد. در این مطالعه، بزرگای محتمل برای دوره بازگشت‌های ۲۴۷۵ و ۴۷۵ سال به ترتیب ۶/۹ و ۶/۶ می‌باشد که طی مطالعات تحلیل خطر در خلال این پژوهه به دست آمده‌اند.

۳-۳- تخمین استعداد روانگرایی توده خاک

جهت برآورد استعداد روانگرایی از رابطه ارائه شده توسط ایواساکی و همکاران (Iwasaki et al., 1982) استفاده شده است: رابطه (۲)

$$P_L = \int_0^{20} (1 - F_L)(10 - 0.5z) dz$$

در این رابطه P_L شاخص استعداد روانگرایی، F_L ضریب اطمینان در برابر روانگرایی و عمق متوسط لایه مورد نظر بر حسب متر می‌باشد. ایواساکی و همکارانش نشان دادند که در مناطق دارای $p_L > 15$ استعداد روانگرایی زیاد بوده و در مناطقی که $p_L < 5$ باشد استعداد روانگرایی به حداقل می‌رسد. جدول ۲ توصیف استعداد روانگرایی را با توجه به شاخص استعداد روانگرایی به چهار گروه طبقه‌بندی می‌کند.

شده سرعت موج برشی صورت گرفته است. با توجه به اینکه تعداد نسبتاً قابل توجهی برداشت‌های ژئوسایز میک طی این پژوهه در شهرهای قشم و درگاهان انجام شده است، مبنای اصلی تحلیل استعداد روانگرایی سرعت موج برشی قرار داده شده و در مناطقی که عدد SPT قابل اعتماد وجود داشته، تحلیل براساس هر دو روش انجام شده است.

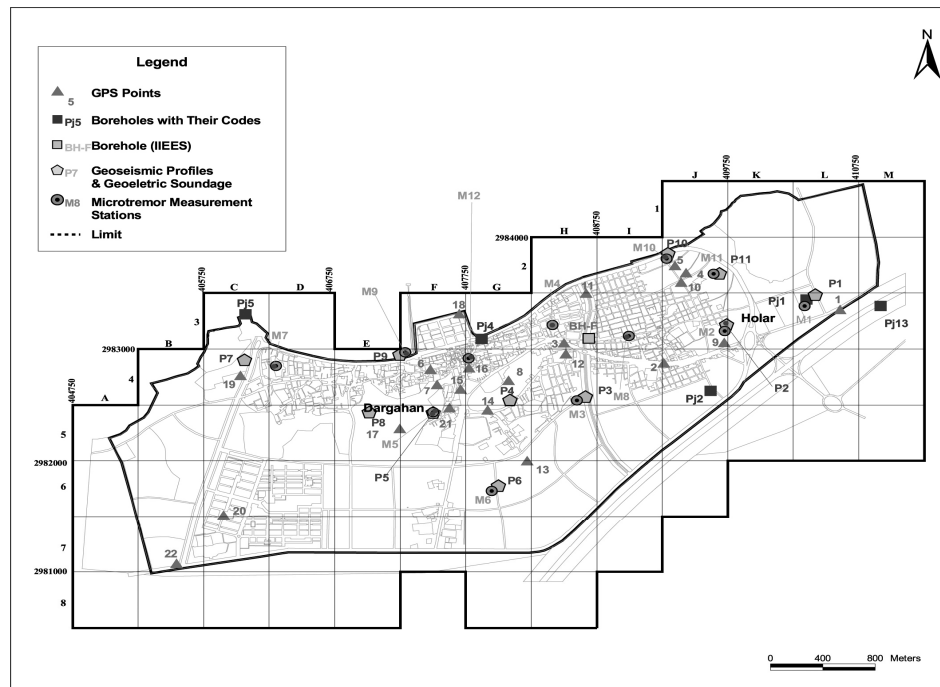
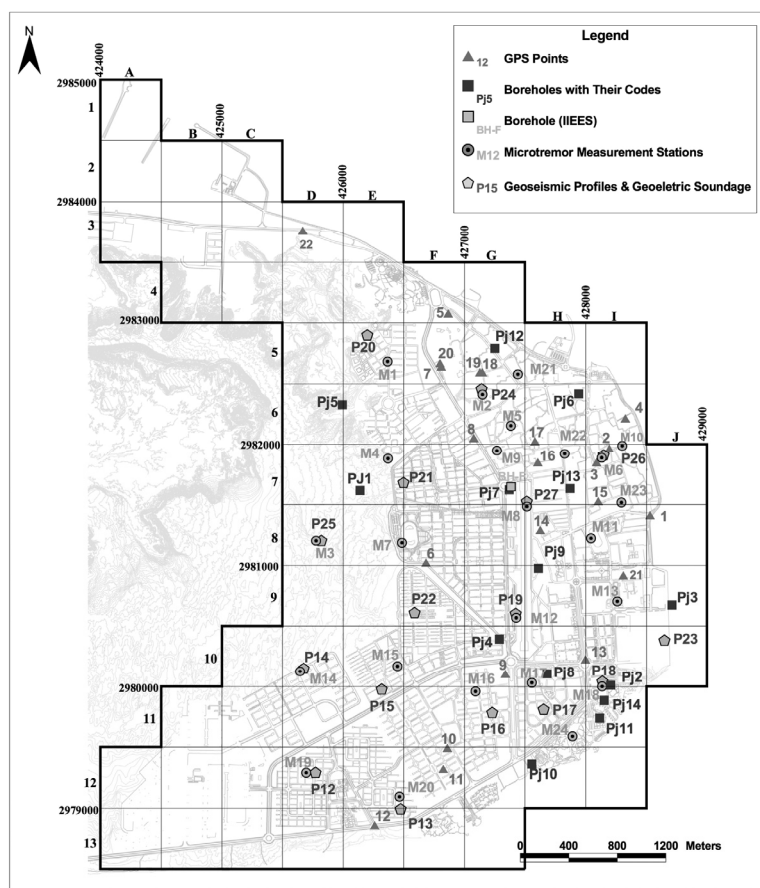
۳-۲- آنالیز پروفیل‌های نمونه جهت ارزیابی استعداد روانگرایی

استفاده از پارامترهای مقاومت نفوذ استاندارد (SPT) و سرعت موج برشی (Vs) جهت ارزیابی استعداد روانگرایی مستلزم اصلاح مقادیر این پارامترها می‌باشد. این اصلاح عمدتاً به دلیل تأثیر تنش همه جانبه بر روی نتایج این آزمایش‌ها صورت می‌پذیرد. در واقع در دونقطه از توده خاک، اگر به جز تنش همه جانبه، همه خصوصیات دیگر یکسان باشد، نتایج حاصل از آزمایش‌های صحرایی SPT و همچنین سرعت Vs متفاوت می‌گردد. بدین لحاظ و جهت امکان مقایسه خصوصیات خاک در نقاط مختلف، نتایج آزمون‌های صحرایی مذکور همواره برای یک تنش همه جانبه یکسان کالیبره می‌شوند. با توجه به آنچه گفته شد، در اولین گام نسبت به اصلاح عدد نفوذ استاندارد با ضریب اصلاح فشار سریار و سرعت موج برشی بامعادله پیشنهادی انتیتو ملی استاندارها و تکنولوژی آمریکا اقدام شده است (Ronald et al., 1999).

ارزیابی استعداد روانگرایی در حالت کلی با تعیین مقاومت برشی (Cyclic Resistant Ratio, CRR) و تنش برشی (Cyclic Stress Ratio, CSR) صورت توده خاک (CSR) (Cyclic Stress Ratio, CSR) مشخص از خاک با رابطه زیر تعریف می‌شود:

$$F_L = \frac{CRR}{CSR} \quad \text{رابطه (۱)}$$

اگر مقدار ضریب اطمینان کوچک‌تر از یک باشد، در آن صورت احتمال وقوع روانگرایی در عمق مورد مطالعه وجود دارد. اگر مقدار ضریب اطمینان F_L بزرگ‌تر از یک باشد در آن صورت، عمق مورد مطالعه روانگرا نمی‌باشد (TC4, 1999 and California Geology Survey, 2008)



شکل ۳: نقشه‌های توزیع اطلاعات موجود در قشم و درگهان

موردن تحلیل قرار گرفته‌اند. در مورد شتاب‌های بیش از ۰.۵g در زلزله‌های با دوره بازگشت ۴۷۵ سال ۰.۵g مبنای محاسبات بوده است. نتایج تحلیل نشان می‌دهد شاخص استعداد روانگرایی در این دو پروفیل و در کلیه شتاب‌ها کمتر از ۵ بوده و لذا خطر روانگرایی کم خواهد بود (جدول ۳). پروفیل ۸ و ۹ در گهان در تراز آب فعلی غیر مساعد به شمار می‌آیند. شکل‌های ۴ و ۵ به ترتیب نقشه‌های خطر روانگرایی قسم و در گهان را در سطح آب موجود نشان می‌دهند. لازم به ذکر است پروفیل‌های سنگی در رده بدون خطر، پروفیلهای دارای خاک مستعد که به دلیل عدم اشباع شدگی یا بالا بودن مقاومت خاک، شاخص استعداد روانگرایی کمتر از ۵ داشته‌اند در رده کم خطر قرار گرفته‌اند.

۲-۳-۲- تحلیل روانگرایی برای تراز آب بالا
 پروفیل ۱ در قسم در این شرایط دارای SPT اصلاح شده کمتر از ۳۰ و پروفیل‌های ۸ و ۹ در در گهان دارای سرعت موج برشی اصلاح شده کمتر از ۲۱۵ متر بر ثانیه هستند که در این مرحله مورد آنالیز قرار گرفته‌اند. شتاب سطح زمین برای زلزله‌های با دوره بازگشت ۴۷۵ سال برای پروفیل ۱ در بخش قبل ذکر شد. برای این دوره بازگشت شبکه‌های مربوط به پروفیل ۸ دارای شتاب‌های g(0.45-0.5) و g(0.5-0.55) و شبکه‌های مربوط به پروفیل ۹ دارای شتاب g(0.5-0.55) هستند. در در گهان شتاب سطح زمین برای دوره بازگشت ۴۷۵ سال ۰.۶۴ و در قسم g(0.55-0.6) بوده است، لذا در این شتابها مورد تحلیل قرار گرفته‌اند. در پروفیل ۱ قسم در کلیه شتابها شاخص استعداد روانگرایی کمتر از ۵ محاسبه شده و در نتیجه خطر روانگرایی کم خواهد داشت. در پروفیل ۸ درگهان، برای هر سه شتاب موجود، شاخص روانگرایی در حدود ۱۴ محاسبه شده است که در نتیجه خطر روانگرایی زیاد خواهند داشت. در پروفیل ۹ درگهان، شاخص روانگرایی در هر دو شتاب بیش از ۱۵ بوده و لذا دارای خطر روانگرایی خیلی زیاد می‌باشد (جدول ۳). اشکال ۴ و ۶ به ترتیب نقشه‌های خطر روانگرایی قسم و در گهان را در سطح آب بالا آمده نشان می‌دهند.

جدول ۲: تخمین استعداد روانگرایی با استفاده از شاخص

(Iwasaki et al., 1982) P_L

$P_L = \circ$	خطر روانگرایی خیلی کم است و عموماً نیاز به تحقیقات و مطالعات دقیق نمی‌باشد.
$\circ < P_L \leq 5$	خطر روانگرایی کم است، با این حال نیاز به تحقیقات و مطالعات دقیق برای سازه‌های مهم می‌باشد.
$5 < P_L \leq 15$	خطر روانگرایی زیاد است و نیاز به تحقیقات و مطالعات دقیق برای انواع سازه‌ها می‌باشد. استفاده از روش‌های کاهش مخاطرات روانگرایی عموماً ضرورت دارد.
$P_L > 15$	خطر روانگرایی خیلی زیاد است و نیاز به تحقیقات و مطالعات دقیق می‌باشد. استفاده از روش‌های کاهش مخاطرات روانگرایی ضروری است.

همان‌طوری که پیشتر عنوان شد، در بررسی‌های اولیه پروفیل‌های ۱ و ۷ در قسم و پروفیل‌های ۸ و ۹ در در گهان مستعد روانگرایی تشخیص داده شدند. در این مرحله با در نظر گرفتن دو تراز آب مختلف مورد تحلیل روانگرایی قرار گرفته‌اند.

۳-۱- تحلیل روانگرایی برای تراز آب فعلی، مطابق با گزارشات موجود

پروفیل‌های ۱ و ۷ در قسم، سرعت موج برشی اصلاح شده بیش از ۲۱۵ متر بر ثانیه داشته و از این نظر فاقد استعداد روانگرایی‌اند اما مقدار SPT اصلاح شده آنها کمتر از ۳۰ بوده و لذا با استفاده از روش سید و ادريس مورد تحلیل قرار گرفتند. براساس تحلیل‌های اثر ساختگاهی انجام شده برای زلزله‌هایی با دوره بازگشت ۴۷۵ سال طی این پژوهش، شبکه‌هایی که با پروفیل ۱ نمایندگی می‌شوند، در سه رده شتاب شامل g(0.35-0.4)، g(0.4-0.5) و بیش از ۰.۵g قرار داشته و شبکه‌هایی که با پروفیل ۷ نمایندگی می‌شوند، در دو رده شتاب شامل g(0.35-0.4) و g(0.4-0.5) قرار گرفته‌اند و همین‌طور شتاب سطح زمین برای قسم در دوره بازگشت ۴۷۵ سال g(0.55-0.6) تخمین زده شده لذا جهت تحلیل روانگرایی، میانگین محدوده هر شتاب محاسبه شده و هر یک از این پروفیل‌ها با این چهار شتاب میانگین

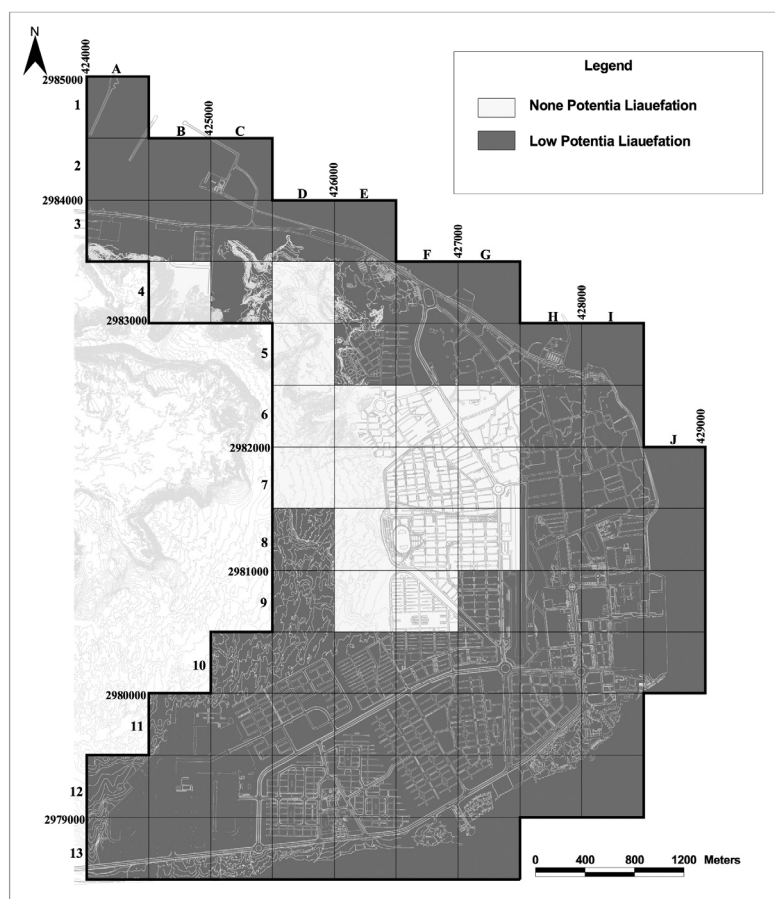
جدول ۳: نتایج آنالیز روانگرایی در شتاب‌های مختلف

مختصات و وضعیت‌های مختلف آ.	شماره پروفیل	مزایای بالا (m)	مزایای پایین (m)	آصالح شده	ترکیب پودری	عدد SPT شله	مقاومت پوششی نوچه CRR کی	(g)	SSR تنش زمینی تراوی	فربیب اطمینان PL	تاخیر استعداد روانگرایی
موجود - سطح آ.	1	8.5	6.5	316	آصالح شده	29	0.54	0.45-0.5	0.36	FL	روانگرایی PL
موجود - سطح آ.	1	10	8.5	305	آصالح شده	27	0.43	0.45-0.5	0.38	SSR	تشنج زمینی تراوی
موجود - سطح آ.	1	8.5	6.5	316	آصالح شده	29	0.54	0.5<	0.38	0.40	0.41
7		10	8	576	آصالح شده	28	0.52	0.35-0.4	0.37	0.40	1.40
7		10	8	576	آصالح شده	28	0.52	0.4-0.45	0.42	0.40	1.24
دوره ۲۰۲۵ ساله	1	8.5	6.5	316	آصالح شده	29	0.50	0.55-0.57	0.43	0.40	1.06
7		10	8	576	آصالح شده	28	0.48	0.55-0.57	0.55	0.55	1.44
آمدہ - سطح آ.	1	8.5	6.5	316	آصالح شده	29	0.52	0.45-0.5	0.36	0.38	1.43
آمدہ - سطح آ.	1	8.5	6.5	316	آصالح شده	29	0.52	0.5<	0.38	0.40	1.36
7		10	8	576	آصالح شده	28	0.52	0.35-0.4	0.37	0.40	1.40
7		10	8	576	آصالح شده	28	0.52	0.4-0.45	0.42	0.40	1.24
آمدہ - سطح آ.	1	8.5	6.5	316	آصالح شده	29	0.48	0.55-0.57	0.43	0.40	1.21
7		10	8	576	آصالح شده	27	0.39	0.55-0.57	0.45	0.40	1.06
آمدہ - سطح آ.	1	8.5	6.5	316	آصالح شده	29	0.52	0.5<	0.38	0.40	1.43
7		10	8	576	آصالح شده	27	0.39	0.55-0.57	0.45	0.40	1.06
آمدہ - سطح آ.	1	8.5	6.5	316	آصالح شده	29	0.52	0.45-0.5	0.36	0.40	1.21
7		10	8	576	آصالح شده	27	0.36	0.55-0.57	0.45	0.40	1.06
آمدہ - سطح آ.	1	8.5	6.5	316	آصالح شده	29	0.52	0.45-0.5	0.36	0.40	1.21
7		10	8	576	آصالح شده	28	0.52	0.35-0.4	0.37	0.40	1.40
آمدہ - سطح آ.	1	8.5	6.5	316	آصالح شده	29	0.52	0.4-0.45	0.42	0.40	1.24
آمدہ - سطح آ.	1	8.5	6.5	316	آصالح شده	29	0.48	0.55-0.57	0.43	0.40	1.21
7		10	8	576	آصالح شده	27	0.39	0.55-0.57	0.45	0.40	1.06
آمدہ - سطح آ.	1	8.5	6.5	316	آصالح شده	29	0.52	0.45-0.5	0.36	0.40	1.21
7		10	8	576	آصالح شده	27	0.39	0.55-0.57	0.45	0.40	1.06
آمدہ - سطح آ.	1	8.5	6.5	316	آصالح شده	29	0.52	0.45-0.5	0.36	0.40	1.21
7		10	8	576	آصالح شده	27	0.39	0.55-0.57	0.45	0.40	1.06
آمدہ - سطح آ.	1	8.5	6.5	316	آصالح شده	29	0.52	0.45-0.5	0.36	0.40	1.21
7		10	8	576	آصالح شده	27	0.39	0.55-0.57	0.45	0.40	1.06
آمدہ - سطح آ.	1	8.5	6.5	316	آصالح شده	29	0.52	0.45-0.5	0.36	0.40	1.21
7		10	8	576	آصالح شده	27	0.39	0.55-0.57	0.45	0.40	1.06
آمدہ - سطح آ.	1	8.5	6.5	316	آصالح شده	29	0.52	0.45-0.5	0.36	0.40	1.21
7		10	8	576	آصالح شده	27	0.39	0.55-0.57	0.45	0.40	1.06
آمدہ - سطح آ.	1	8.5	6.5	316	آصالح شده	29	0.52	0.45-0.5	0.36	0.40	1.21
7		10	8	576	آصالح شده	27	0.39	0.55-0.57	0.45	0.40	1.06
آمدہ - سطح آ.	1	8.5	6.5	316	آصالح شده	29	0.52	0.45-0.5	0.36	0.40	1.21
7		10	8	576	آصالح شده	27	0.39	0.55-0.57	0.45	0.40	1.06
آمدہ - سطح آ.	1	8.5	6.5	316	آصالح شده	29	0.52	0.45-0.5	0.36	0.40	1.21
7		10	8	576	آصالح شده	27	0.39	0.55-0.57	0.45	0.40	1.06
آمدہ - سطح آ.	1	8.5	6.5	316	آصالح شده	29	0.52	0.45-0.5	0.36	0.40	1.21
7		10	8	576	آصالح شده	27	0.39	0.55-0.57	0.45	0.40	1.06
آمدہ - سطح آ.	1	8.5	6.5	316	آصالح شده	29	0.52	0.45-0.5	0.36	0.40	1.21
7		10	8	576	آصالح شده	27	0.39	0.55-0.57	0.45	0.40	1.06
آمدہ - سطح آ.	1	8.5	6.5	316	آصالح شده	29	0.52	0.45-0.5	0.36	0.40	1.21
7		10	8	576	آصالح شده	27	0.39	0.55-0.57	0.45	0.40	1.06
آمدہ - سطح آ.	1	8.5	6.5	316	آصالح شده	29	0.52	0.45-0.5	0.36	0.40	1.21
7		10	8	576	آصالح شده	27	0.39	0.55-0.57	0.45	0.40	1.06
آمدہ - سطح آ.	1	8.5	6.5	316	آصالح شده	29	0.52	0.45-0.5	0.36	0.40	1.21

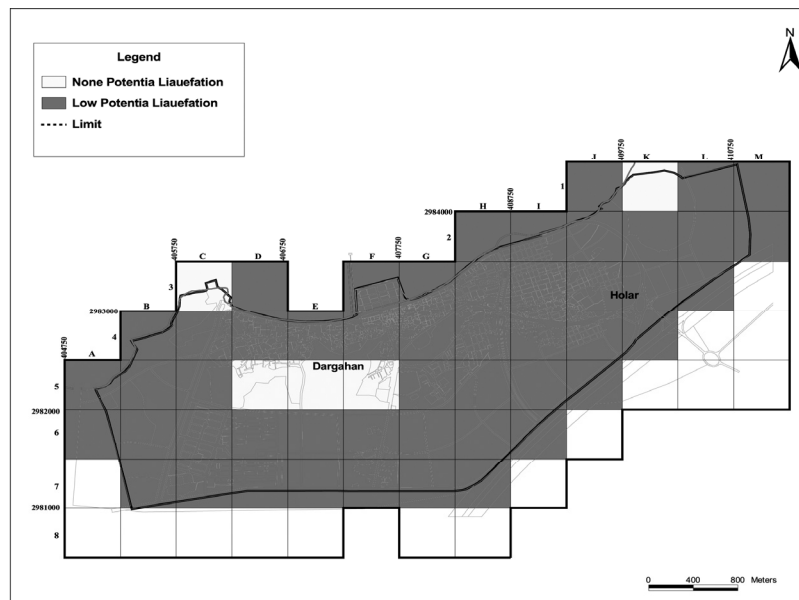
در گهان در پهنه‌بندی درجه ۲، دارای خطر روانگرایی متوسط تا زیاد تشخیص داده شده است. اما در پهنه بندی درجه بندی ۳ در محدوده شتاب‌های محتمل برای زلزله‌های با دوره بازگشت ۴۷۵ و ۲۴۷۵ سال و در سطح آب موجود، خطر روانگرایی برای این شهر کم برآورد شده است. علی‌رغم اینکه این شهر در دشتی ساحلی و پست با سطح آب بالا بنا شده است و سطح زمین، به استثنای ارتفاعات مرکزی شهر، از رسوبات سست ماسه‌ای و سیلتی تشکیل شده است، انتظار می‌رود که این منطقه از خطر روانگرایی بالایی بخوردار باشد، اما بررسی‌های ژئوتکنیکی و زمین‌شناسی دقیق‌تر این شهر در مرحله ریزپهنه‌بندی، نشان داد که رسوبات سست و ماسه‌ای سطحی ضخامت قابل توجهی نداشته و در زیر این رسوبات، لایه‌ای مارنی قرار دارد که خطر وقوع روانگرایی در آن وجود ندارد. با افزایش تراز آب زیرزمینی در شهر در گهان، استعداد خطر روانگرایی به خصوص در بخش‌های غربی و جنوبی آن به شدت افزایش می‌یابد.

در طبقه‌بندی یود و پرکینز (۱۹۷۸) نیز دارای خطر متوسط تا زیاد می‌باشند و از این نظر، روش مورد استفاده در این تحقیق نتایج قابل مقایسه‌ای با روش یود و پرکینز که تنها به اطلاعات زمین‌شناسی متکی است از خود نشان می‌دهد.

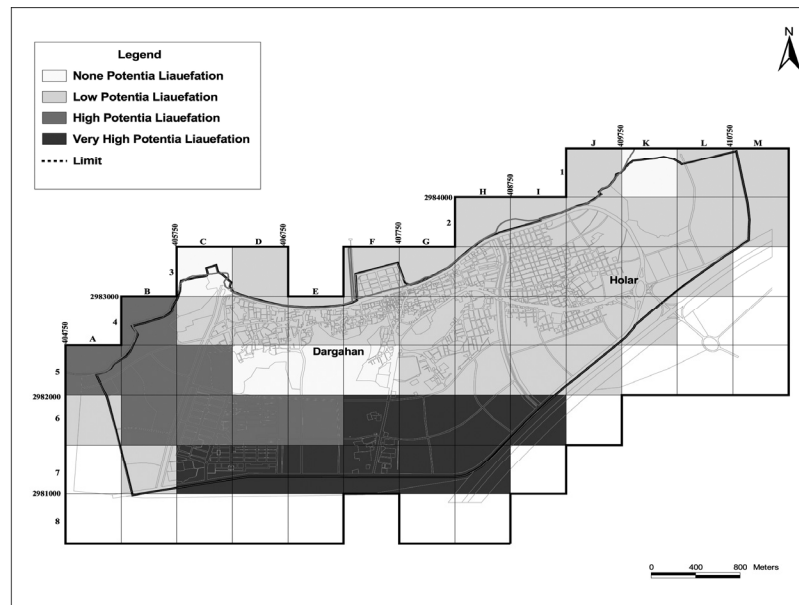
سواحل جنوبی و شرقی شهر قسم در پهنه‌بندی درجه ۲ دارای خطر متوسط تا زیاد، بخش‌های غربی بدون استعداد روانگرایی و بخش‌هایی در جنوب غربی دارای خطر روانگرایی کم تشخیص داده شده است. در ریزپهنه‌بندی (درجه ۳) بخش‌های غربی شهر قسم بدون خطر روانگرایی بوده اما بخش‌های ساحلی و مرکزی شهر در مقایسه با پهنه‌بندی درجه ۲ خطر کمتر نشان داده و خطر روانگرایی کم برای آن برآورد شده است. در این شهر حتی با فرض افزایش سطح آب و در شتاب‌های دوره بازگشت‌های ۴۷۵ و ۲۴۷۵ سال، خطر روانگرایی برآورد شده کم است که دلیل آن ضخامت کم لایه‌های سست سطحی و تراکم بالای لایه‌های عمیق‌تر زمین می‌باشد.



شکل ۴: نقشه استعداد خطر روانگرایی در شهر قشم



شکل ۵: نقشه استعداد خطر روانگرایی در شهر درگهان در سطح آب موجود



شکل ۶: نقشه استعداد خطر روانگرایی در شهر درگهان در سطح آب بالا آمده

منابع

- حق‌شناس، ابراهیم و مهدویفر، محمد رضا. ۱۳۸۴. "گزارش مقدماتی پدیده‌های زمین‌شناسی مهندسی و ژئوتکنیک مرتبط با زلزله ۱۳۸۴/۹/۶ قشم." پژوهشگاه بین‌المللی زلزله شناسی و مهندسی زلزله، تهران. ایران.
- حق‌پور عبدالعظیم. ۱۳۷۴. "پژوهش‌های زمین‌شناسی و اکتشافات معدنی منطقه قشم." مهندسین مشاور سکو.
- گریوانی هادی و حق‌شناس ابراهیم ۱۳۸۶، "نقشه زمین‌شناسی مهندسی جزیره قشم با کاربرد در پهنه‌بندی مخاطرات ژئوتکنیک لرزه‌ای." پنجمین کنفرانس زمین‌شناسی مهندسی و محیط زیست ایران
- حق‌شناس، ابراهیم و شفیعی، علی و همکاران. ۱۳۸۶. "مطالعات پهنه‌بندی خطر زلزله و مخاطرات ژئوتکنیک لرزه‌ای جزیره قشم." مرحله دوم: پهنه‌بندی ژئوتکنیک لرزه‌ای و مخاطرات زمین‌شناسی در جزیره قشم" پژوهشگاه بین‌المللی زلزله شناسی و مهندسی زلزله.

حق شناس، ابراهیم و کمالیان، محسن، و همکاران. ۱۳۸۷. "مطالعات پهنه‌بندی خطر زلزله و مخاطرات ژئوتکنیک لرزه‌ای جزیره قشم. مرحله سوم: پهنه‌بندی ژئوتکنیک لرزه‌ای و مخاطرات زمین‌شناختی در شهرهای قشم و درگهان" پژوهشگاه بین‌المللی زلزله‌شناسی و مهندسی زلزله.

صالح زاده، ح و اثنی عشری، م و همکاران. ۱۳۸۲. "پهنه‌بندی خطر روانگرائی منطقه جنوب شرق تهران با استفاده از آزمون نفوذ مخروط و ارزیابی عددی نتایج." چهارمین کنفرانس بین‌المللی زلزله و مهندسی زلزله.

کمالیان، م و زارع، م و همکاران. ۱۳۸۰. "مطالعات بهسازی وضع موجود شبکه آبرسانی بخش منتخبی از شهر تهران در برابر زلزله" پژوهشگاه بین‌المللی زلزله‌شناسی و مهندسی زلزله.

میرمحمد حسینی، م و کمک پناه، ع و همکاران. ۱۳۷۸. "ریزپهنه‌بندی جنوب شرق تهران در برابر روانگرایی" پژوهشگاه بین‌المللی زلزله‌شناسی و مهندسی زلزله.

میرمحمد حسینی، م و قاسمی، ا و همکاران. ۱۳۸۱. "ریزپهنه‌بندی جنوب شرق تهران در برابر روانگرایی" پژوهشگاه بین‌المللی زلزله‌شناسی و مهندسی زلزله.

کمک پناه، ع و بوستانی ماوی، د و همکارانت. ۱۳۸۰. "ریزپهنه‌بندی جنوب تهران در برابر روانگرائی" دانشگاه تربیت مدرس. عسکری فرج ا. و گریوانی هادی. ۱۳۸۷. "خطر روانگرایی در تهران براساس تجزیه و تحلیل مطالعات گذشته در تهران" فصلنامه علوم زمین، سازمان زمین‌شناسی و اکتشافات معدنی کشور.

California Geological Survey (2008). "Guidelines for Evaluating and Mitigation Seismic Hazards in California" Chapter 6. Originally adopted March 13, 1997 by the State Mining and Geology Board in Accordance with the Seismic Hazards Mapping Act of 1990. Revised and Re-adopted September 11, 2008 by the State Mining and Geology Board in Accordance with the Seismic Hazards Mapping Act of 1990.

California Geological Survey (2008). "Guidelines for Evaluating and Mitigation Seismic Hazards in California" Chapter 6. Originally adopted March 13, 1997 by the State Mining and Geology Board in Accordance with the Seismic Hazards Mapping Act of 1990. Revised and Re-adopted September 11, 2008 by the State Mining and Geology Board in Accordance with the Seismic Hazards Mapping Act of 1990.

California Geology Survey, Department of Conservation, (2005). "Seismic Hazard Zone Report for the Rosamond 7.5 Minute Quadrangle, Los angels County, California"

Haghipour, A., Aghanabati, A. 2005. Geological Map of The Qeshm Area (1:100,000). Qeshm Free Area.

Iwasaki, T. Tokida, K., Tatsuoka, F., Watanabe, S., Yasuda, S. and Sato, H. (1982). Microzonation for Soil Liquefaction Potential Using Simplified Methods, Proc., 3rd Int. Conf. on microzonation, Seattle, Vol.3pp1319-1330.

JICA, Japan International Cooperation agency, 2000. The Study on Seismic Microzoning of the Greater Tehran Area in the Islamic Republic of Iran, Main Report Volume 2.

Klohn-Crippen Consultants Ltd, (1994). "Preliminary Seismic Microzonation Assessment for British Columbia" <http://ilmbwww.gov.bc.ca>

Ronald Andrus, Kenneth H.Stokoe and Riley M.Chung (1999). Draft Guidelines for Evaluating Liquefaction Resistance Using Shear Wave Velocity Measurements and Simplified Procedures, NISTIR 6277, National Institute of Standard and Technology, Gaithersburg, M.D.

Seed, H.B., Idriss, I.M. (1971). Simplified Procedure for Evaluation Soil Liquefaction Potential, J. SMFD, ASCE, Vol. 97, No.9<pp.1249-1273.

The Technical Committee for Earthquake Geotechnical Eng. (TC4), 19931999. Manual for Zonation on seismic Geotechnical hazard, The Japanese Society of Soil Mechanics and Foundation Engineering.

Youd, T.L., and Perkins, D.M., 1978. Mapping liquefaction-induced ground failure potential. Journal of the Geotechnical Engineering Division, p. 443-446.

پیوست ۱: پروفیل‌های نمونه روانگرایی تهیه شده در شهر قشم

SPT اصلاح شده	Vs اصلاح شده	سطح آب بالا آمده (m)	عمق سطح آب موجود (m)	Vs (m/s)	SPT	نوع خاک	عمق سطح پائین لایه (m)	عمق سطح بالای لایه (m)	شماره پروفیل
>30	233	2	4.5	150	20	SM	2	0	1
>30	370			320	30	SM	4.5	2	
>30	332			320	30	SM	6.5	4.5	
29	316			320	30	SM	8.5	6.5	
27	305			320	30	SM	10	8.5	
>30	477			515	>50	Lomashel	20	10	
>30	466	0	2	300	20	SM	2	0	2
>30	492			400	30	SM	4	2	
>30	459			400	40	SM	5	4	
>30	853			860	>50	Lomashel	12	5	
>30	425			500	>50	Marl	20	12	
241	590	4	10	155		SM	2	0	3
449	449			380		SM	4	2	
395	466			380		SM	6	4	
211	420			380		SM	8	6	
431	515			380		SM	10	8	
>30	250			495		Marl	20	10	
>30	351	0	5	150		SM	3	0	4
>30	818			425		Marl	12	3	
>30	404			515		Marl	20	12	
>30	575	0	4	250	30	SM	3	0	5
>30	590			500	40	SM	4	2	
>30	540			500	40	SM	5	4	
>30	555			600	>50	Lomashel	15	5	
>30	490			600	>50	Marl	20	15	
>30	388	0	2	250	28	S M	2	0	6
>30	308			250	28	S M	4	2	
>30	647			575	28	S M	6	4	
>30	606			575	28	S M	8	6	
28	576			575	28	S M	10	8	
>30	551			575	35	S M	12	10	
>30	500			575	>50	Marl	20	12	
309	220	3	15			SM	3	0	7
707	785					Lomashel	20	3	
388	250	0	4			SM	2	0	8
295	250					SM	4	2	
270	250					SM	5	4	
797	880					Lomashel	17	5	
403	500					Marl	20	17	
388	250	0	3			SM	2	0	9
309	250					SM	3	2	
283	250					SM	5	3	
808	880					Lomashel	17	5	
406	500					Marl	20	17	
404	260	0	2			SM	2	0	10
639	695					Lomashel	20	2	
350	225	0	2			SM	2	0	11
547	445					SM	4	2	
511	445					SM	5	4	
802	785					Lomashel	10	5	
432	500					Marl	20	10	

پیوست ۲: پروفیل‌های نمونه روانگرایی تهیه شده در شهر درگهان

شماره پروفیل	عمق سطح بالای لایه (m)	عمق سطح پائین لایه (m)	نوع خاک	عمق سطح آب موجود (m)	سطح آب بالا آمده (m)	اصلاح شده Vs (m/s)
1	0	2	SM	200	362	
		375	Marl	375	450	
		375	Marl	375	337	
		190	SM	190	344	
2	0	3	Marl	190	270	
		295	Marl	295	344	
		495	Marl	495	444	
	0	3	SM	250	409	
3		470	Marl	470	442	
		210	SM	210	452	
	0	1	Marl	540	641	
		690	Marl	690	611	
4	0	1	SM	180	387	
		645	Marl	645	615	
		260	SM	260	471	
	0	3	SM	260	374	
5		595	Marl	595	684	
		810	Sandstone	810	723	
	0	2	SM	150	271	
		300	Marl	300	360	
6		460	Marl	460	413	
		120	SM	120	186	
	4	6	SM	120	148	
		120	SM	120	135	
8		405	Marl	405	364	
		120	SM	120	186	
	0	5	SM	120	148	
		220	Marl	220	202	
9		495	Marl	495	454	
		120	CL	120	168	
	0	3	Marl	220	247	
		495	Marl	495	438	